

**ОСОБЕННОСТИ ТЕМПЕРАТУРНЫХ ЗАВИСИМОСТЕЙ  
ПЬЕЗОЭЛЕКТРИЧЕСКИХ СВОЙСТВ  
И ЭЛЕКТРОСОПРОТИВЛЕНИЯ СЕГНЕТОКАЕРАМИКИ  
МЕТАНИОБАТА ЛИТИЯ**

В. А. Чернышков, А. Н. Павлов, А. П. Драницников, Л. А. Резниченко,  
Е. И. Бондаренко

Возможность применения сегнетокерамики метаниобата лития (МНЛ) для создания активных элементов устройств, работающих при температурах выше 800 К, существенно ограничивается резко убывающим в этой области температур электросопротивлением  $R$  [1]. С целью уточнения механизма корреляции между поведением  $R$  (или  $\rho$  — удельным электрическим сопротивлением, так как  $R \sim \rho$ ) и изменением пьезоэлектрических характеристик провели комплексное исследование электрических свойств поликристаллического МНЛ в широкой области температур.

Для исследования использовали образцы, вырезанные из блоков ( $\varnothing 70 \times 25 \cdot 10^{-6} \text{ м}^3$ , изготовленных методом одноосного горячего прессования (ГП), включающим ступенчатые

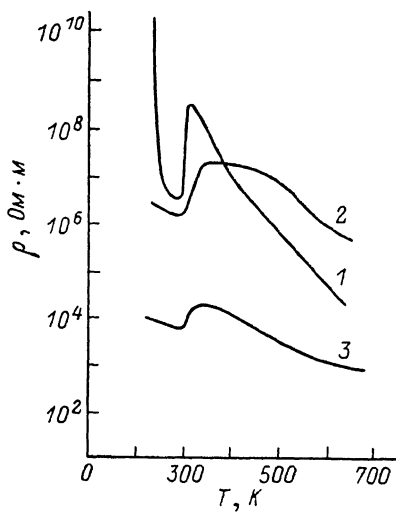


Рис. 1.

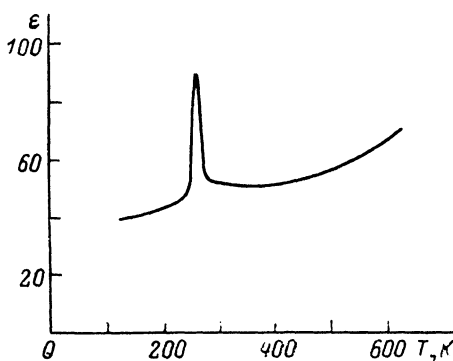


Рис. 2.

изменения температуры (до  $T_{\max} = 1250$  К) и давления (до  $P_{\max} = 60$  МПа), две изотермические и изобарные выдержки при  $T_{\max}$  и  $P_{\max}$ . Спекание производили на установке ГП высокого давления, созданной в НИИ физики РГУ для получения крупногабаритных изделий из материалов типа МНЛ.

Рентгенографические исследования показали, что синтезированный МНЛ имеет плотную ( $\rho_{\text{раз}}/\rho_{\text{реакт}} = 0.987$ ) гексагональную структуру псевдоильменита с параметрами элементарной ячейки при комнатной температуре  $a = 0.515$  нм и  $C = 1.388$  нм, что хорошо согласуется с соответствующими значениями параметров, определенными в [1, 2] на керамических образцах МНЛ с небольшими добавками метабората лития, приготовленных по другой технологии, а также приводимыми авторами при исследовании монокристаллов [3].

Перед исследованием пьезоэлектрических характеристик образцы поляризовали в полиэтиленсилоксановой жидкости ПЭС-5 следующим образом. Образцы загружали в камеру при 330 К и в течение  $(0.9 \div 1.2) \cdot 10^3$  с осуществляли плавный подъем температуры до 410 К, сопровождающийся увеличением величин создаваемого поля от 0 до  $(5 \div 7) \cdot 10^3$  кВ/м. В этих условиях образцы выдерживали  $(1.2 \div 1.5) \cdot 10^3$  с, а затем охлаждали под полем до 330—360 К не менее  $1.2 \cdot 10^3$  с.

Измерение  $\rho$  (рис. 1) проводили на постоянном (1) и переменном (2) токе;  $f = 1$  кГц (2), 1 МГц (3). В интервале температур 200—300 К  $\rho$  убывает при возрастании температуры. В области 300—350 К наблюдается аномальный участок с положительным коэффициентом сопротивления (ПТКС). Здесь же имеет место аномалия диэлектрической проницаемости  $\epsilon$  (рис. 2).

( $\varepsilon$  измеряли на частоте 1 кГц). Дальнейшее повышение температуры приводит к уменьшению  $\rho$ , резкому при исследовании на постоянном токе.

При изменении температуры до 1173 К керамика МНЛ сохраняет пьезоактивность, при этом относительная величина пьезомодуля  $d_{33}(T)/d_{33}(300 \text{ K})$  (кривая 1 на рис. 3), измеряемая по методике, исключающей влияние  $\rho$  на результат [4], проявляет небольшой рост при увеличении температуры.

Требующееся для ряда практических применений пьезоэлектрическое напряжение  $V$ , возникающее в цепи при приложении к пьезоэлементу внешней механической нагрузки  $\sigma$ , существенно зависит от сопротивления пьезоэлемента, а тем самым от его  $\rho$ . Если зависимость  $\sigma$  от времени  $t$  описывается выражением  $\sigma = \sigma_0 \sin \omega t$ , то

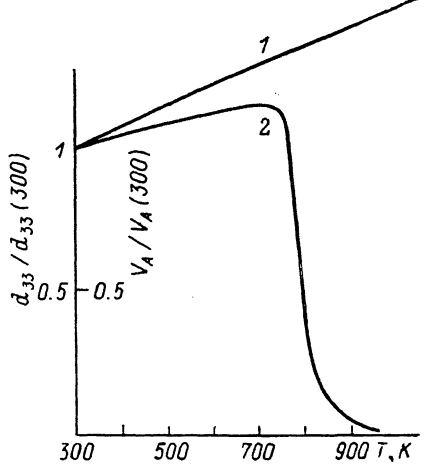
$$V(t) = \frac{\omega \sigma d_{33}}{C} \frac{(RC)^{-1} \cos \omega t + \omega \sin \omega t}{(RC)^{-2} + \omega^2},$$

где  $R^{-1} = R_i^{-1} + R_e^{-1}$ ;  $C = C_i + C_e$ ;  $R_i$ ,  $R_e$  — сопротивления;  $C_i$ ,  $C_e$  — емкости пьезоэлемента и внешней цепи соответственно. В данной схеме пьезоэлемент рассматривается как источник тока, к которому параллельно подсоединенны емкости  $C_i$ ,  $C_e$  и сопротивления  $R_i$ ,  $R_e$ . В связи с необходимостью иметь большие величины  $V$  берут  $R_e \gg R_i$ , поэтому  $R \approx R_i$ .

При  $(R_i C)^{-1} < \omega$  амплитудное значение пьезоэлектрического напряжения  $V_A \approx \omega C^{-1} d_{33}$  и не зависит от  $R_i$ . По мере увеличения температуры электросопротивление керамики  $R_i$  падает, и при определенных условиях становится верным неравенство  $(R_i C)^{-1} > \omega$ , тогда

Рис. 3. Температурные зависимости относительных величин пьезомодуля  $d_{33}(T)/d_{33}(300 \text{ K})$  (1) и пьезоэлектрического напряжения  $V_A(T)/V_A(300 \text{ K})$  (2).

Сопротивление и емкость внешней цепи равны соответственно  $5 \cdot 10^6 \text{ Ом}$  и  $5 \cdot 10^{-9} \text{ Ф}$ .



$V_A \sim \omega \sigma R_i d_{33}$ . При этом  $V_A$  будет зависеть от  $\rho$  и убывать с ростом  $T$ , если  $\rho$  убывает. Сопоставление  $\rho(T)$  (рис. 1, 1) и экспериментальной зависимости  $V_A(T)/V_A(300 \text{ K})$  (рис. 3, 2) наглядно подтверждает влияние  $\rho$  на  $V_A$ . Температуру  $T_a$  и величину  $\rho_a$ , при которых  $V_A$  начинает существенно зависеть от  $\rho$ , можно оценить теоретически из условия  $(R_i C)^{-1} = \omega$ , которое дает  $T_a \sim 720 \text{ K}$  и  $\rho_a \sim 10^6 \text{ Ом} \cdot \text{м}$ . (Для расчета использовали:  $\omega \sim 10^2 \text{ с}^{-1}$ ,  $C_e \sim 5 \cdot 10^{-9} \text{ Ф}$ ,  $S = 10^{-4} \text{ м}^2$ ,  $h = 10^{-3} \text{ м}$ , где  $S$ ,  $h$  — площадь и толщина измеряемого образца). Полученные величины хорошо согласуются с экспериментом, что видно из рис. 3.

Проведенное рассмотрение подтверждает, что пьезоэлектрическое напряжение в существенной степени зависит от  $\rho$  пьезоэлемента и при определенных условиях падает с уменьшением  $\rho$ . Поэтому для создания пьезоэлементов, работающих в широком интервале температур, нужно знать механизмы формирования  $\rho$ . В исследованном нами поликристаллическом материале, как уже отмечалось выше, наблюдается эффект ПТКС, который обнаружен при использовании различных электродов (Ni, Ag) и поэтому не связан с приэлектродными процессами. Аномалия  $\rho(T)$  уменьшается с ростом частоты  $f$  измерительного поля (рис. 1, 2, 3), что указывает на связь эффекта ПТКС с образованием потенциальных барьеров на границах зерен керамики [5]. Такой вывод согласуется с тем, что в монокристаллах LiNbO<sub>3</sub> в области температур 77—770 К не обнаружено ПТКС аномалий [6]. При наличии же потенциальных барьеров  $\rho = \exp(\Phi/kT)$ , где  $\Phi$  — величина потенциального барьера. При температурах меньше температуры Кюри

$$\Phi = E_c(qn_s - \Delta P_s)/qN,$$

где  $q$  — элементарный электрический заряд,  $\Delta P_s$  — скачок нормальной составляющей вектора спонтанной поляризованности на границе зерна,  $E_c$  — квазипотенциальное поле,  $qN$  — плотность свободного заряда в объеме зерна,

$$n_s = N_s \left[ 1 + \exp \frac{E_s - E_F + \Phi}{kT} \right]^{-1},$$

$N_s$ ,  $E_s$  — плотность и энергия поверхностных состояний, создающих потенциальные барьера;  $E_F$  — энергия Ферми [7].

Наблюдаемый эффект ПТКС при  $T \sim 300$  К может быть связан с какими-то структурными аномалиями в этой области, что косвенно подтверждается наличием аномалии  $\epsilon$  (рис. 2), приводящей к скачкообразному изменению  $E_c$ ,  $\Delta P_s$ ,  $\Phi$ ,  $\rho$ .

Проведенный анализ позволяет сделать вывод, что для увеличения  $\rho$ , а тем самым расширения температурного интервала работы активных пьезоэлементов из керамики МНЛ нужно стремиться за счет ее легирования или подбора условий структурообразования уменьшить плотность свободных зарядов в объеме зерна или увеличивать плотность поверхностных состояний на границах зерен.

### Литература

- [1] Фесенко Е. Г., Чернышков В. А., Резнichenko Л. А. и др. ЖТФ, 1984, т. 54, № 2, с. 412—415.
- [2] Фесенко Е. Г., Резнichenko Л. А., Чернышков В. А. и др. Изв. АН СССР. Неорг. матер., 1985, т. 21, № 2, с. 317—319.
- [3] Кузьминов Ю. С. Ниобат и танталат лития. Материалы для нелинейной оптики. М.: Наука, 1975.
- [4] Рябусов В. Ф., Копелиович М. Б., Магер В. П. В сб.: Пьезоэлектрические материалы и преобразователи. Ростов-на-Дону, 1985, с. 48—52.
- [5] Heywang W. J. Amer. Ceram. Soc., 1964, v. 47, N 10, p. 484—490.
- [6] Mansingh A., Dhar A. J. Phys. D. Appl. Phys., 1985, v. 18, N 10, p. 2059—2071.
- [7] Бондаренко Е. И., Павлов А. Н., Прокопало О. И. и др. ФТТ, 1985, т. 27, № 8, с. 2530—2533.

Ростовский-на-Дону  
государственный университет  
Научно-исследовательский институт физики

Поступило в Редакцию  
6 апреля 1987 г.

УДК 537.525.5

Журнал технической физики, т. 58, № 6, 1988

### О ПАДЕНИИ НАПРЯЖЕНИЯ В ПРИКАТОДНОЙ ПЛАЗМЕ ВАКУУМНОЙ ДУГИ

B. A. Немчинский

Многочисленные эксперименты, выполненные методом автографов, показали, что плотность тока на катоде вакуумной дуги достигает очень большой величины — до  $10^8$  А/см<sup>2</sup> и даже выше [1]. Ввиду ограниченной проводимости плазмы растекание тока при расширении токового канала около катода требует значительного падения напряжения

$$V_{\text{пп}} = \frac{1}{c} \sqrt{\frac{Tj}{2\pi}}, \quad (1)$$

$I$  — ток дуги,  $j$  — плотность тока,  $c$  — проводимость плазмы. Подставляя сюда  $I=10$  А,  $j=10^8$  А/см<sup>2</sup> и характерную для низкотемпературной плазмы величину  $c \sim 50 \div 100$  Ом<sup>-1</sup>·см<sup>-1</sup>, получаем  $V_{\text{пп}} \sim 120 \div 250$  В. Если учесть, что полное напряжение на дуге, например, в случае медного катода составляет 20—25 В, а катодное падение потенциала около 15 В, то на долю падения в квазинейтральной плазме остается порядка десятка вольт, что во много раз меньше падения потенциала, оцененного выше по формуле (1). Поскольку на основании этого

$p$ , атм	$T$ , эВ	$\ln \Lambda$	$\sigma$ , Ом <sup>-1</sup> · см <sup>-1</sup>	$\delta = \frac{e^2 n^{1/2}}{T}$	$j$ , А/см <sup>2</sup>	$V_{\text{пп}}$ , В
10	2.7	3.3	150	0.06	$5 \cdot 10^5$	5.9
100	3.3	2.6	270	0.10	$5 \cdot 10^6$	10.4
1000	4.5	2.1	540	0.14	$5 \cdot 10^7$	16.5